

## ҚҮЁШ ҲАВО КОЛЛЕКТОРЛАРИДА ТУРБУЛИЗАТОРЛАР ҚЎЛЛАНИЛГАНИДА ҲАВО ҲАРОРАТИ РЕЖИМИНИ КОМПЬЮТЕРЛИ МОДЕЛЛАШТИРИШ

**<sup>1</sup>Узоков Ф.Н., <sup>2</sup>Ибрагимов У.Х., <sup>3</sup>Алиярова Л.А., <sup>4</sup>Хамраев С.И.**

**<sup>1</sup>Узоков Фулом Норбоевич**- т.ф.д., профессор, Қарши муҳандислик иқтисодиёт институти, Қарши ш. Ўзбекистон Республикаси, e-mail: [uzoqov1966@rambler.ru](mailto:uzoqov1966@rambler.ru) ORCID ID 0000-0002-4066-1140

**<sup>2</sup>Ибрагимов Умиджон Хикматуллаевич**-т.ф.д., Қарши муҳандислик иқтисодиёт институти, Қарши ш. Ўзбекистон, e-mail: [ibragimov\\_u@rambler.ru](mailto:ibragimov_u@rambler.ru) ORCID ID 0000-0002-8848-0971

**<sup>3</sup>Алиярова Лола Абдижаббаровна**.-т.ф.д., Қарши муҳандислик иқтисодиёт институти, Қарши ш. Ўзбекистон Республикаси, e-mail: [lola.aliyarova@mail.ru](mailto:lola.aliyarova@mail.ru) ORCID ID 0000-0001-6106-5826

**<sup>4</sup>Хамраев Сардор Илхомович** -таянч докторант, Қарши муҳандислик иқтисодиёт институти, Қарши ш. Ўзбекистон Республикаси, e-mail: [xamrayevs@bk.ru](mailto:xamrayevs@bk.ru) ORCID ID 0000-0002-0847-9488

**Аннотация:** Ушбу мақолада текис қүёш ҳаво коллекторларида баффле- турбулизатор типидаги кучайтиргичларни ўрнатиш таклиф этилади. Қүёш ҳаво коллекторидаги ҳарорат режими 2, 3, 4 ва 8 дафтар- турбулизаторларни ўрнатишда назарий жиҳатдан ўрганилди. Тадқиқот натижаларига кўра, 2, 3, 4 ва 8 тўсиқ- турбулизаторли коллекторнинг ўртача самарадорлиги мос равишида 29,2%, 31,3%, 33,1 ва 33,7% ни ташкил этди, оддий коллекторда эса - 28,9%.

**Калим сўзлар:** қүёш коллектори, баффле-турбулятор, коллектор самарадорлиги, иссиқлик узатиш, ҳарорат.

**Abstract:** This article proposes the installation of baffle-turbulator type intensifiers in flat solar air collectors. Theoretically investigated the temperature regime in the solar air collector when installing 2, 3, 4 and 8 baffle-turbulators. According to the results of the study, the average efficiency of a collector with 2, 3, 4 and 8 baffles-turbulators was 29,2%, 31,3%, 33,1 and 33,7%, respectively, in a simple collector – 28,9%.

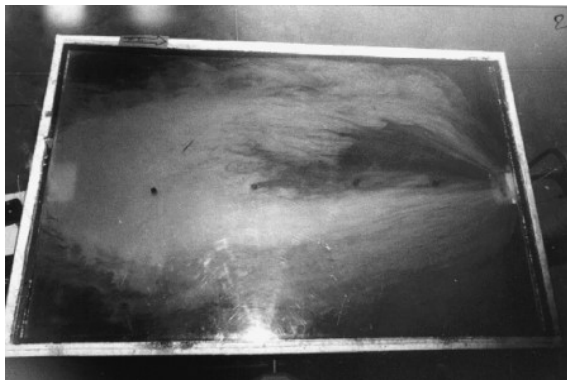
**Keywords:** solar collector, baffle-turbulator, collector efficiency, heat transfer, temperature.

**Кириш.** Қүёш ҳаво коллектори каналли иссиқлик алмашинув қурилмаси бўлиб, тушаётган қүёш энергиясининг иссиқлик энергиясини канал орқали ўтаётган ҳавога узатиб бериш учун мўлжалланган қурилма. У шиша орқали ўтган қүёш радиациясини ютади, уни иссиқлик энергиясига ўзгартиради ва совуқ ҳавога узатади [1, 2]. Ясси қүёш коллекторида юқори иссиқлик самарадорлигига эга бўлиш учун иссиқлик ютувчи пластинадан ҳаво оқимиға самарали узатилиши керак. Қүёш коллектори ичидағи иссиқлик узатиш коэффициенти коллекторнинг самарадорлигига мухим таъсир этувчи параметр ҳисобланади [3]. Кўпгина тадқиқотчилар коллекторнинг ютувчи пластинаси ва шиша қопламаси орасида турли шаклдаги жадаллаштиргичларни қўллаб иссиқлик алмашинувини жадаллаштиришга эришган [4,11].

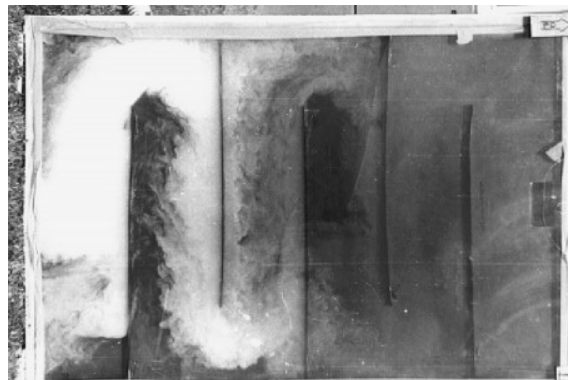
**Материаллар ва методлар.** Тўсиқ-турбулизатор иссиқлик узатиш юзаси майдонини оширади ва коллекторда ҳаво оқимиning турбулентлигини таъминлайди. Тўсиқларни мавжуд бўлиши ҳаво оқими дастлаб ажралади ва яна бирлашиб қайтар оқимни ҳосил қиласди, натижада коллекторнинг ишчи юзасини ювилиш даражаси ортади. Коллекторларда тўсиқларни ўрнатишдан асосий мақсад коллектордаги ўлик зоналарни камайтириш ва иссиқлик алмашинув юзасининг майдонини ошириш ҳисобланади.

1 ва 2-расмларда текис пластинали ва тўсиқ-турбулизаторли коллекторнинг визуал моделлари кўрсатилган [5]. 1-расмда текис пластинали коллекторда ҳаво оқимларининг схемаси кўрсатилган бўлиб, коллектордаги тўғри ҳаво оқими коллекторнинг ишчи юзасида бир нечта ўлик зоналарни ҳосил қиласди. Натижада ҳаво билан пластинани тўқнашиш юзаси камаяди ва иссиқлик узатиш самарадорлиги пасайиб кетади. 2-расмда тўсиқ-турбулизатор ўрнатилгандаги визуал модел кўрсатилган бўлиб, ундан кўриниб турибдики ҳаво ҳаракат траекториясининг узунлиги коллекторнинг умумий узунлигидан икки марта катта, натижада иссиқлик узатиш ошади ва ўлик зоналар сезиларли камаяди. Қүёш ҳаво коллекторларида тўсиқларни ўрнатиш яхши натижа беришини Пон [6] ўзининг тадқиқот ишларида маълум

қилган ва тўсик-турбулизаторлар ўрнатилганда қуёш ҳаво коллекторининг самарадорлиги текис пластиналиларга қараганда 7-12% га ортишини аниқлаган.



1-расм. Текис пластинали коллекторда ҳаво оқимининг визуал кўриниши.



2-расм. Тўсик-турбулизаторли коллекторда ҳаво оқимининг визуал кўриниши.

Абене [7] ҳам коллекторда турли шаклдаги тўсик-турбулизаторларни ўрнатиб иссиқлик алмашинуви бўйича тадқиқотлар ўтказган ва тўсик-турбулизаторларни ўрнатиш иссиқлик алмашинув жадаллиги 8-10% га ортишини аниқлаган. Коллекторлар тўсик-турбулизаторларни ўрнатишдаги самарадорликни баҳолаш бўйича кўп сонли тадқиқот ишлари амалга оширилган, бироқ тўсик-турбулизаторнинг сони, узунлиги ва юзасини коллекторнинг самарадорлигига таъсири тадқиқот қилинмаган. Юқорида келтирилган визуал моделдан кўриниб турибдики, тўсиклар ҳаво оқими каналини торайтиради ва тўқнашувчи юза билан ишқаланиш қаршилигини оширади, натижада босим йўқотилиши ортади. Маълумки босим йўқотилишини ортиши вентилятор қувватини оширади, натижада эксплуатация ҳаражатлари ҳам ортади. Шунинг учун тўсикларни лойиҳалаш ва ўрнатишда техник-иқтисодий томонлама энг мақбул параметрлар танланиши керак.

Яssi қуёш коллекторининг иссиқлик самарадорлиги коллекторда олинган энергиянинг ( $Q_k$ ) умумий тушган қуёш нурланиш энергиясига ( $Q_y$ ) нисбатидан аниқланади. Коллекторнинг самарадорлигини қуидаги ифода ёрдамида ифодалаш мумкин [8, 9]:

$$\eta = \frac{Q_k}{Q_y}. \quad (1)$$

Коллекторда олинган фойдали энергия – бу коллектордан чиқаётган иссиқлик миқдори бўлиб қуидаги кўринишга эга:

$$Q_k = mc_p(t_q - t_k), \quad (2)$$

бу ерда  $m$  – ҳавонинг массавий сарфи, кг/с;  $c_p$ -ҳавонинг солиштирма иссиқлик сигими,  $\text{Ж}/(\text{кг}\cdot\text{°C})$ ;  $t_k$ ,  $t_q$  – ҳавонинг коллекторга кириш ва чиқишдаги ҳароратлари,  $^{\circ}\text{C}$ .

Қуёш энергияси тушаётган коллектор майдони коллекторнинг апертура майдони ( $A$ ) деб аталади. Демак коллекторда олинган умумий энергия қуидаги тенглама кўринишида ифодаланади:

$$Q_{y,k} = Q_\phi A. \quad (3)$$

Шунга кўра энергияни ютилиши ва ўтказилиши оптик нурланишнинг кўп сонли самараси ҳисобланиб, ушбу омиллар коллекторнинг шаффофф қопламаси орқали ўтаётган қуёш нурларининг маълум фоизини ташкил этади:

$$Q_{y,k} = \alpha \cdot \tau \cdot I \cdot A, \quad (4)$$

бу ерда  $\alpha$  – қуёш коллекторининг абсорбция коэффициенти;  $\tau$  – қуёш коллектори шаффофф қопламасининг трансмиссия коэффициенти;  $I$  – қуёш нурланиш оқимининг зичлиги,  $\text{Вт}/\text{м}^2$ .

Коллекторда олинган фойдали энергия қуидагicha:

$$Q_\phi = Q_{y,k} - Q_{\text{йўқ}} = \alpha \cdot \tau \cdot I \cdot A - U_L A (t_a - t_x), \quad (5)$$

бу ерда  $U_L$  – иссиқик йўқотилиш коэффициенти, Вт/(м<sup>2</sup>·°C);  $T_a$ ,  $T_k$  – абсорбер ва ташки ҳаво ҳарорати, °C.

(5) ифодадан коллектордаги ўртача ҳароратни аниқлаш жуда қийин бўлиб, “коллекторнинг иссиқлик сифими” ( $F_R$ ) коэффициентидан фойдаланиш мақсадга мувофиқ:

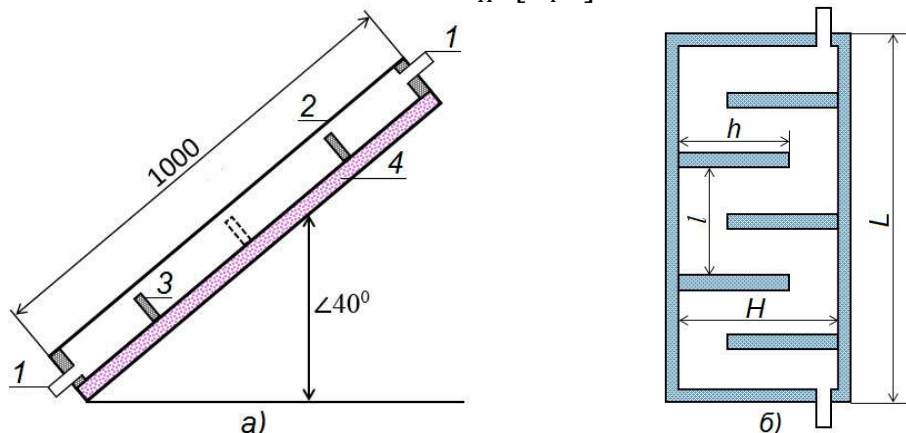
$$F_R = \frac{mc_p(t_q - t_k)}{A(\alpha \cdot \tau \cdot I - U_L(t_k - t_a))}. \quad (6)$$

Демак, яssi қуёш коллекторининг самарадорлигини аниқлаш учун “Хоттел-Вилье-Блесс” тенгламасидан фойдаланиш мумкин [10]:

$$\eta = F_R \cdot \alpha \cdot \tau - F_R U_L \left( \frac{t_q - t_k}{I} \right). \quad (7)$$

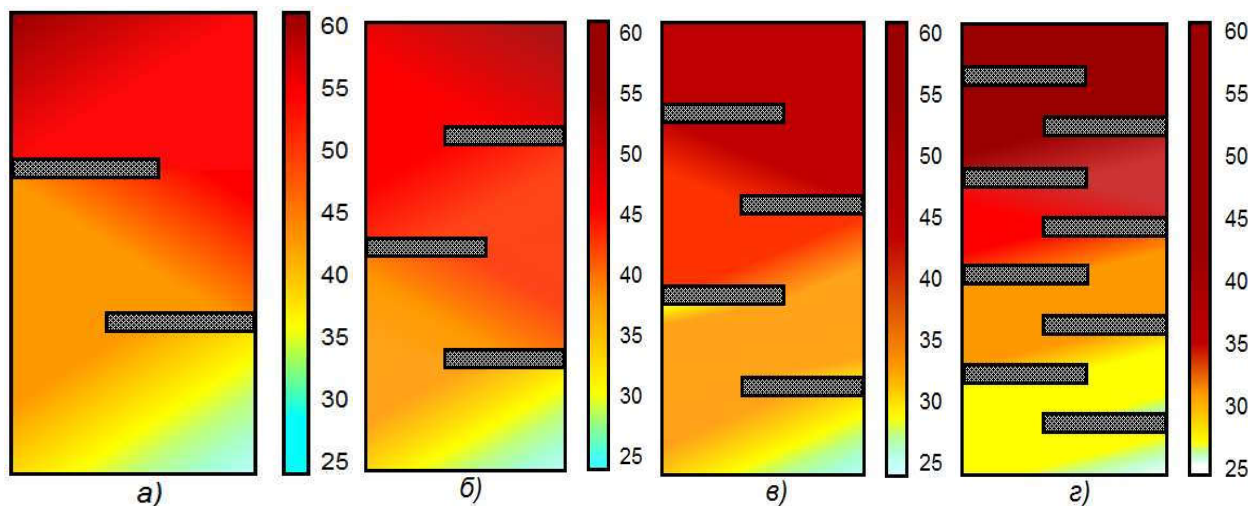
Агар  $\alpha$  ва  $\tau$  коэффициентлар ўзгармас деб қабул қилинса, у ҳолда коллекторнинг самарадорлиги эксплуатация шароитини аниқловчи учта (нурланиш оқими зичлиги, ҳавонинг кириш ва чиқиш ҳароратлари) параметрнинг чизиқли функцияси ҳисобланади. Шунинг учун яssi коллекторнинг унумдорлигини ушбу учта параметрни ўлчаш билан аппроксимациялаш мумкин ва умумлаштирувчи (8) тенгламадан фойдаланиб самарадорлигини аниқлаш мумкин [11]:

$$\eta = \frac{mc_p}{A} \left[ \frac{t_q - t_k}{I} \right] \quad (8)$$



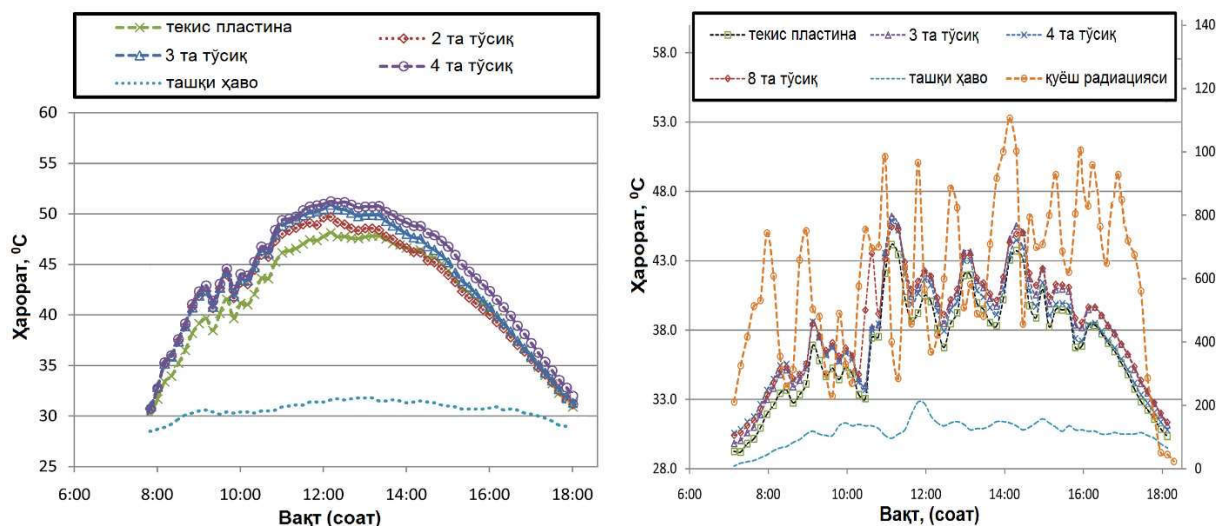
3-расм. Тўсиқ-турбулизаторли қуёши ҳаво коллекторининг схемаси (а) ва геометрик характеристикиаси (б): 1-ҳавони кириши ва чиқиши учун қувур; 2-шаффофф қоплама; 3-тўсиқ-турбулизатор; 4-иссиқлик изоляцияси;  $h$ -тўсиқнинг узунлиги;  $l$ -тўсиқлар орасидаги масофа;  $H$ -коллекторнинг кенглиги;  $L$ -коллекторнинг узунлиги.

**Натижалар ва уларни муҳокамаси.** Назарий тадқиқотларни амалга ошириш учун **COMSOL Multiphysics** дастурий воситасидан фойдаланиб тўсиқ-турбулизаторларнинг тўртта моделини қурамиз (3 ва 4-расм). Компьютер моделини қуришда дастлабки маълумотлар сифатида қуйидагилар қабул қиласиз: коллектор ён деворининг қалинлиги 3 мм, абсорбер пластинаси қора рангга бўялган, шаффофф қоплама қалинлиги 4 мм бўлган шиша, ҳаракатлаувчи муҳит ҳаво, ҳавонинг ҳарорати 25-60°C оралиғида ўзгаради, коллекторнинг узунлиги 1 м ва кенглиги 0,5 м, ишчи ҳажм чуқурлиги 0,006 м, тўсиқнинг узунлиги 0,4 м, тўсиқлар сони 2, 3, 4 ва 8 та. Олинган тадқиқот натижалари 4-расмда кўрсатилган.



4-расм. Түсик-турбулизатор ўрнатилган қүёш ҳаво коллекторидаги ҳароратлар майдони ва ҳаво ҳароратини коллектор узунлиги бўйича ўзгариши.

5-расмда келтирилган натижалардан кўриниб турибдики, 4 та түсик-турбулизаторли коллекторда 2 ва 3 та түсик-турбулизаторли коллекторларга қараганда кун давомида энг юқори ҳарорат олиш мумкин. 4 та түсик-турбулизаторли коллектордаги ўртacha ҳарорат  $42,7^{\circ}\text{C}$ , 2 ва 3 та түсик-турбулизаторли ва текис пластинали коллекторларда  $-42,1^{\circ}\text{C}$ ,  $41,6^{\circ}\text{C}$  ва  $40,1^{\circ}\text{C}$ . Шунингдек 4 та түсик-турбулизаторли коллекторда максимал ҳарорат  $52,2^{\circ}\text{C}$  га етган вактда 2 ва 3 та түсик-турбулизаторли ва текис пластинали коллекторларда максимал ҳарорат  $50^{\circ}\text{C}$ ,  $51^{\circ}\text{C}$  ва  $48^{\circ}\text{C}$ .



5-расм. Текис пластинали коллектор ва 2, 3 ва 4 та түсик-турбулизатор ўрнатилган коллекторда ҳаво ҳароратини кун давомида ўзгариши.

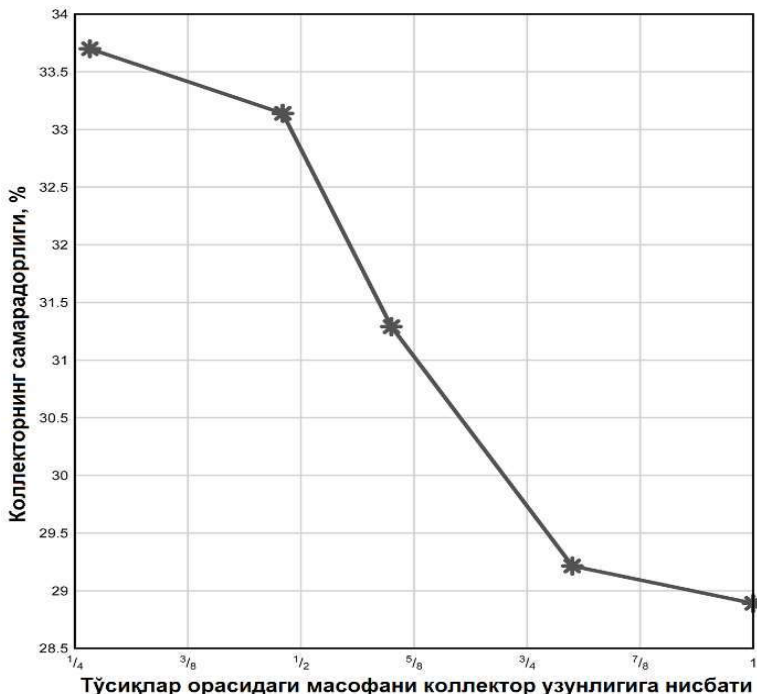
6-расм. Текис пластинали коллектор ва 3, 4 ва 8 та түсик-турбулизатор ўрнатилган коллекторда ҳаво ҳароратини кун давомида ўзгариши.

6-расмда келтирилган натижалардан кўриниб турибдики, 8 та түсик-турбулизатор ўрнатилган коллекторда бошка коллекторларнига қараганда ҳарорат энг юқори. 8 та түсик-турбулизаторли коллектордаги ўртacha ҳарорат  $41,3^{\circ}\text{C}$ , 3 ва 4 та түсик-турбулизаторли ва текис пластинали коллекторларда –  $39^{\circ}\text{C}$ ,  $40^{\circ}\text{C}$  ва  $38^{\circ}\text{C}$ . Расмдан кўриниб турибдики, қуёш радиациясини нобарқарорлиги сабабли ҳароратни кескин тебраниши кузатилган. Бундай ўзгарувчан режимда коллекторларни таққослаш имконияти мавжуд эмас.

Аниқланган ҳарорат қийматлари бўйича текис пластинали ва түсик-турбулизаторли коллекторларнинг самарадорлиги аниқланди. Текис пластинали коллекторнинг

самарадорлиги – 28,9%, 2, 3, 4 ва 8 та түсиқ-турбулизаторли коллекторларнинг самарадорлиги мос равища 29,2%, 31,3%, 33,1% ва 37,8%. Кўриниб турибдики 8 та түсиқ-турбулизаторли коллектор энг юқори самарадорликка эга.

7-расмда түсиқлар орасидаги масофани коллектор узунлигига нисбати қуёш коллекторининг самарадорлигига таъсири кўрсатилган. Түсиқлар орасидаги масофани коллектор узунлигига нисбати қиймати камайганда коллекторнинг самарадорлиги ортади, қиймат кичик бўлганда (түсиқлар сони кўп бўлганда) самарадорлик камаяди. Коллектордаги түсиқлар сони кам бўлганда, яъни бизнинг ҳолда тўрттадан кам бўлганда иссиқлик узатишга кучли таъсир кўрсатади, чунки бу вақтда босим йўқотилиши кам бўлади. Түсиқлар сони 4 тадан ошганда босим йўқотилишини ортиши иссиқлик узатишни ортишидан катта бўлади ва самарадорлик жуда кам миқдорда ортади.



7-расм. Түсиқлар орасидаги масофани коллектор узунлигига нисбатини коллекторнинг самарадорлигига боғлиқлиги.

[5] тадқиқот ишида келтирилган маълумотларда ўлчами  $2 \times 1$  м бўлган коллекторлар учун түсиқларнинг сони 6-12 атрофида ва коллектор кенглигини 60-80% ни банд қилиши керак. Демак чоп этилган тадқиқот натижалари ва олинган натижаларга кўра  $1 \times 0,5$  м ўлчамли коллектор учун түсиқлар сони 2 дан 4 гача бўлиши керак.

**Хуноса.** Қуёш ҳаво коллекторларида түсиқ-турбулизатор туридаги жадаллаштиргичлар ўрнатилган коллекторнинг самарадорлигини баҳолаш бўйича олиб борилган тадқиқот иши бўйича қуидаги хуносалар қилинди:

1. Қуёш ҳаво коллекторларининг самарадорлигини ошириш учун коллектор каналларида иссиқлик узатиш жараёнларини жадаллаштирувчи турли шаклдаги турбулизаторлардан фойдаланиш бўйича олиб борилган тадқиқот ишларининг таҳлили келтирилди.

2. Қуёш коллекторларининг самарадорлигини аниқлаш методикаси келтирилди ва ушбу методика асосида **COMSOL Multiphysics** дастурий воситасидан фойдаланиб түсиқ-турбулизаторларнинг тўртта модели ишлаб чиқилиб, коллекторда ҳароратни ўзгариши назарий тадқиқот қилинди.

3. Назарий тадқиқотлар асосида коллекторда ҳароратни ўзгариши қуидагича эканлиги аниқланди: 4 та түсиқли ўртacha ҳарорат  $42,7^{\circ}\text{C}$ , 2 ва 3 та түсиқ-турбулизаторли ва текис пластинали коллекторларда –  $42,1^{\circ}\text{C}$ ,  $41,6^{\circ}\text{C}$  ва  $40,1^{\circ}\text{C}$ .

4. Барча моделларнинг самарадорлиги аниқланди: текис пластинали коллекторнинг самарадорлиги – 28,9%, 2, 3, 4 ва 8 та тўсиқ-турбулизаторли коллекторларнинг самарадорлиги мос равища 29,2%, 31,3%, 33,1% ва 37,8%.

5. Ўлчами 1x0,5 м бўлган коллектор учун тўсиқлар сони 2 дан 4 гача бўлиши аниқланди.

## АДАБИЁТЛАР

1. Kalogirou S.A. (2004) Solar Thermal Collectors and Applications. *Progress in Energy and Combustion Science*, 30, 231-295. <https://doi.org/10.1016/j.pecs.2004.02.001>.
2. Zambolin E. and Del Col D. (2010) Experimental Analysis of Thermal Performance of Flat Plate and Evacuated Tube Solar Collectors in Stationary Standard and Daily Conditions. *Solar Energy*, 84, 1382-1396. <https://doi.org/10.1016/j.solener.2010.04.020>.
3. Aldabbagh L.B.Y., Egelioglu F. and Ilkan M. (2010) Single and Double Pass Solar Air Heaters with Wire Mesh as Packing Bed. *Energy*, 35, 3783-3787. <https://doi.org/10.1016/j.energy.2010.05.028>.
4. Velmurugan P. and Ramesh P. (2011) Evaluation of Thermal Performance of Wire Mesh Solar Air Heater. *Indian Journal of Science and Technology*, 4, 12-14.
5. Romdhane B.S. (2007) The Air Solar Collectors: Comparative Study, Introduction of Baffles to Favor the Heat Transfer. *Solar Energy*, 81, 139-149. <https://doi.org/10.1016/j.solener.2006.05.002>.
6. Pona, J. (1985) Increasing Thermal Efficiency of Solar Flat Plate Collectors. NASA STI/Recon Technical Report.
7. Abene A. (2004) Study of a Solar Air Flat Plate Collector: Use of Obstacles and Application for the Drying of Grape. *Journal of Food Engineering*, 65, 15-22. <https://doi.org/10.1016/j.jfoodeng.2003.11.002>.
8. Struckmann F. (2008) Analysis of Flat-Plate Solar Collector. Project Report, MVK160 Heat and Mass Transport, Lund.
9. Luna, D., Jannot, Y. and Nadeau, J.-P. (2010) An Oriented-Design Simplified Model for the Efficiency of a Flat Plate Solar Air Collector. *Applied Thermal Engineering*, 30, 2808-2814. <https://doi.org/10.1016/j.applthermaleng.2010.08.016>.
10. Karatasou S., Santamouris M. and Geros V. (2006) On the Calculation of Solar Utilizability for South Oriented Flat Plate Collectors Tilted to an Angle Equal to the Local Latitude. *Solar Energy*, 80, 1600-1610. <https://doi.org/10.1016/j.solener.2005.12.003>.
11. Uzakov G.N., Khamraev S.I., Khuzhakulov S.M. Rural house heat supply system based on solar energy // IOP Conf. Series: Materials Science and Engineering 1030 (2021) 012167 IOP Publishing doi:10.1088/1757-899X/1030/1/012167